

ИССЛЕДОВАНИЕ КРИЗИСА КИПЕНИЯ ПРИ ТЕЧЕНИИ НЕДОГРЕТОГО МЕТИЛОВОГО СПИРТА

П. И. Поварнин

(Москва)

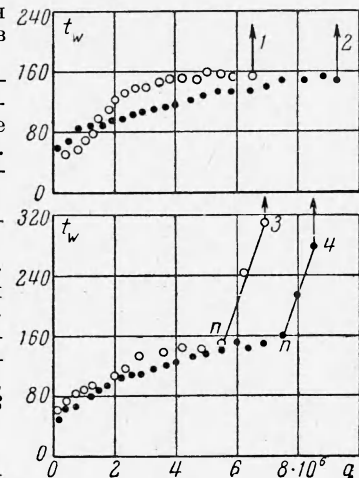
В настоящее время известно много работ по изучению кризиса кипения при вынужденном течении недогретой воды в широком диапазоне изменения давлений [1-3].

Использование в технике других теплоносителей, главным образом органических соединений, и расширение представлений о характере явления требуют новых исследований. В то же время таких работ очень мало. В частности, по спиртам известны статьи Л. С. Стермана, Н. Г. Стюшина [4], в которых описаны опыты по кризису для изопропилового и этилового спиртов. Причем эти опыты охватывают сравнительно узкий интервал изменения скорости течения от 0.2 до 7 м / сек при давлении в 2 атм и нулевом недогреве.

Ниже описаны исследования кризиса кипения при принудительном течении метилового спирта по ГОСТ № 6995-54 в трубах малого диаметра при давлениях от 5 до 70 атм, скорости жидкости до 45 м / сек и недогреве до температуры насыщения от 8 до 200° С.

Описание эксперимента. Экспериментальная установка представляла собой замкнутый контур с циркуляционным насосом, измерителем расхода, устройствами для поддержания давления, предварительного подогрева перед экспериментальным участком и охлаждения жидкости перед насосом, аналогично установке в наших опытах с водой [1].

Опыты проводились на точенных и цельнотянутых трубах из нержавеющей стали и бронзы внутренним диаметром от 2.0 до 3.5 мм, при толщине стенки 0.2-0.3 мм и длине трубы от 40 до 210 мм. Методика проведения эксперимента, измерения и вы-



Фиг. 1. График типовых экспериментальных зависимостей $t_{ct} = f(q)$: 1-й тип (вверху) — внезапный скачок температуры, сопровождающийся пережогом 1 или отключением 2; 2-й тип (внизу) — кризис осложняется нагарообразованием, в точке перегиба P наблюдается самопроизвольный рост t_{ct} , в результате которого происходит отключение 3 или пережог 4

числения опытных величин оставалась такой же, как и в опытах с водой. Возможная точность измерений оценивалась в следующих пределах [1]: определение теплового потока с точностью $\pm 12\%$, определение скорости течения $\pm 5\%$, определение температуры жидкости $\pm 5^\circ$ С, определение температуры внутренней поверхности трубы в зависимости от величины теплового потока q от ± 5 до $\pm 30^\circ$ С.

В отличие от опытов с водой явление кризиса кипения при протекании метилового спирта осложнялось фактом термического разложения рабочей жидкости с образованием слоя нагара на внутренней поверхности трубы. В соответствии с этим все опыты разбиты на две группы. Опыты первого типа протекали по известной схеме, характерной для воды, когда в процессе опыта тепловой поток q постепенно увеличивается при сохранении постоянства всех остальных параметров. При этом последовательно наблюдались стадии конвективного теплообмена, поверхностного кипения и кризиса с внезапным броском температуры и частым пережогом трубы (фиг. 1, верхний график).

Опыты второго типа. Пройдя стадии конвективного теплообмена и поверхностного кипения, на внутренней поверхности трубы начинал откладываться слой нагара, что вело к самопроизвольному росту температуры наружной поверхности стенки, измерявшейся термопарой. В этом случае удавалось фиксировать в течение некоторого времени температуру стенки в пересчете на внутреннюю поверхность, которая превышала температуру насыщения на несколько сот градусов (см. фиг. 1, нижний график). Вскрытие трубок показало, что слой нагара в некоторых случаях достигал толщины 50 мк. Необходимо отметить, что образование подобных отложений наблюдалось и у других исследователей при работе с органическими жидкостями, например у Бэйли

Таблица 1

Опытные данные по метиловому спирту

$t, ^\circ\text{C}$	$\frac{G, \text{кг}}{\text{м}^2\text{сек}}$	$\frac{q_*, \text{ккал}}{\text{м}^2\text{час}}$	Металл	$\frac{l}{d}$	$t, ^\circ\text{C}$	$\frac{G, \text{кг}}{\text{м}^2\text{сек}}$	$\frac{q_*, \text{ккал}}{\text{м}^2\text{час}}$	Металл	$\frac{l}{d}$
$P = 5 \text{ атм}, B = 0.0162, A = 0.96 \cdot 10^6, C = 0.217$									
109	1592	1.53 \cdot 10*	ЭЯ — 1Т	60	40	7960	5.55	»	»
85	3980	2.96	»	»	83	»	3.6	»	»
48	»	3.02	БР	5.0	45	3980	3.06	»	»
45	1592	1.9	»	3.28	119	1592	1.63	»	»
30	3960	4.3	»	3.28					
$P = 50 \text{ атм}, B = 0.0128, A = 0.59 \cdot 10^6, C = 0.29$									
60	1592	3.5	ЭЯ — 1Т	10	20	6368	17.4	ЭЯ — 1Т	10.0
60	1592	3.9	»	10	60	1592	2.2	БР	»
65	2388	4.9	»	10	120	796	1.2	»	»
65	2388	4.0	»	10	105	3980	2.1	»	»
50	3960	6.3	»	10	80	7960	6.3	»	»
50	3960	5.05	»	10	100	3980	2.0	»	»
40	7960	7.5	»	10	»	1592	1.6	»	»
21	31840	16.0	»	10	48	»	1.66	»	»
55	»	5.75	»	16.7	40	15920	7.5	»	12.5
55	»	4.9	»	12.5		39800	19.0	»	»
55	7960	6.4	»	»		31840	9.2	»	»
50	1592	3.4	»	10		23880	7.6	»	»
60	2388	4.45	»	10		31840	13.0	»	»
115	1592	2.75	БР	10	20	5920	8.0	»	»
85	3960	4.3	»	10	50	7960	5.5	»	»
60	»	4.8	»	10	100	11940	7.5	ЭЯ — 1Т	65
60	7960	6.65	»	10	85	3980	3.52	»	64
40	31840	14.80	»	12.5	100	»	4.06	»	65
40	23880	13.80	»	»	135	1592	1.7	»	60
40	15920	8.0	»	10	158	3980	2.56	»	»
102	3980	3.85	»	10	185	15922	1.35	»	»
108	7960	4.3	»	10	125	7960	5.12	»	»
80	15920	5.45	»	22.5	10	178	»	3.72	»
80	23880	8.35	»	»	50	31840	14.9	БР	12.5
25	7960	9.3	»	»	45	23880	11.3	»	»
76	31840	9.2	»	»	»	15920	9.0	»	»
32	15920	11.0	»	»	120	31840	10.5	»	»
32	7960	5.8	»	»	180	39800	6.42	»	»
70	3980	3.05	ЭЯ — 1Т	64	185	15920	4.8	»	»
72	11940	6.70	»	»	38	31840	10.5	»	5.0
72	»	8.2	»	»	40	23880	9.15	»	»
68	3980	4.18	»	»	45	15920	7.0	»	»
78	1592	3.25	»	»	40	7960	5.05	»	»
82	2388	3.43	»	»	50	3980	4.25	»	»
110	1592	1.85	»	»	40	1592	2.6	»	3.28
120	»	1.94	»	12.5					
130	15920	2.84	»	»					
38	23880	8.6	»	»					
38	15920	5.65	»	»					
35	7960	4.40	БР	5.0					
48	3960	3.60	»	»					
55	1592	3.76	»	»					
$P = 30 \text{ атм}, B = 0.01365, A = 1.03 \cdot 10^6, C = 0.185$									
110	1592	2.6	БР	10	50	»	16.1	»	»
60	3980	3.3	»	»	55	7960	3.8	»	»
60	7960	6.3	»	»	50	3980	2.3	»	10.0
40	31840	12.1	»	12.5	45	1592	1.8	»	12.5
»	23880	9.7	»	»	32	15920	8.6	»	»
»	15920	6.85	»	»	35	7960	10.8	»	»
105	»	7.9	»	»	100	15920	5.0	»	65
120	7960	3.6	»	»	185	»	7.7	»	»
140	3980	2.45	»	»	85	3980	2.7	»	»
130	1592	1.68	»	10.0	»	»	3.92	»	»
28	15920	8.4	»	12.5	95	1592	2.93	»	»
»	»	7.95	»	»	»	»	3.5	»	»
40	7960	6.5	»	»	168	»	1.42	»	»
80	11940	8.1	ЭЯ — 1Т	64	135	»	1.04	»	60
»	3980	4.4	»	»	145	»	1.2	»	»
»	2388	4.36	»	65	135	3980	1.8	»	»
110	»	2.94	»	64	122	7960	5.1	»	»
150	1592	2.6	»	»	168	»	3.8	»	»
142	»	1.38	»	60	50	31840	15.2	БР	12.5
82	3980	2.6	»	»	45	23880	13.5	»	»
155	7960	3.8	»	»	50	15920	9.6	»	»
148	11940	4.25	»	»	120	31840	12.7	»	»
45	7960	7.43	»	»	180	39800	9.8	»	»
»	15920	8.7	БР	12.5	190	15920	3.8	»	»
40	23880	8.42	»	»	38	31840	16.4	»	5.0
»	31840	9.5	»	»	40	23880	10.5	»	»
50	»	12.6	»	»	35	15920	8.05	»	»
112	»	9.0	»	»	50	3980	3.9	»	»
170	15920	3.88	»	»	40	1592	2.2	»	»
38	31840	10.4	»	»	5.0	»	2.68	»	»

и Дина [5] при работе с ракетным топливом JP-4. Можно предположить, что отмеченная разница температур внутренней поверхности трубы и пограничного слоя жидкости происходит за счет перепада температуры в слое нагара. Подсчеты показали, что теплопроводность материала нагара в этом случае должна быть порядка $0.1 \text{ ккал} / \text{м}^{\circ}\text{С час}$.

Таким образом, возникновение паровой пленки при кризисе происходит не на металлической поверхности стенки трубы, а на поверхности слоя нагара и кризис в некоторых случаях затягивается. За критическую тепловую нагрузку в этих опытах принималась величина q_* , соответствующая точке начала самопроизвольного роста t_w .

Таблица 2

$P \text{ атм}$	N	N_1	$N_1, \%$	N_2	$N_2, \%$	$T_0, ^\circ\text{C}$	$T_*, ^\circ\text{C}$
5	5	4	80	1	20	115—135	145—175
10	43	22	51	21	49	150—190	140—205
30	35	17	48.5	18	51.5	170—195	185—220
50	36	4	11	32	89	180—220	220—225
70	37	3	8	34	92	195—260	235—250
Итого	156	50	32	106	68	—	—

Очистка трубы от нагара позволяла проводить повторные опыты, причем наблюдалась хорошая повторяемость результатов. При длительной циркуляции спирт изменялся, наблюдалось увеличение кислотности, содержание воды, появление взвешенных частиц и т. п. Поэтому после десятка опытов спирт в контуре полностью заменялся.

Результаты опытов. Всего было проведено 156 опытов, данные по которым представлены в табл. 1. Опыты проводились отдельными сериями с сохранением постоянного давления в каждой серии. Опыты при малом недогреве $8—10^\circ$ было очень мало, и пузырьковых режимов, отмеченных для воды в работе [6], не наблюдалось. Предлагаемые ниже расчетные зависимости относятся к области больших недогревов $\Delta t > 20^\circ$ и беспузырьковых режимов течения.

В табл. 2 дано число опытов N , проведенных при разных давлениях p и указаны числа N_1 и N_2 кризисов первого и второго типа $N = N_1 + N_2$. Из таблицы видно, что при малых давлениях $p = 5$ и 10 атм кризис чаще возникал по 1-му типу, т. е. в чистом виде, хотя и при этих давлениях наблюдались случаи нагарообразования. По мере роста давления до 30, 50 и 70 атм число кризисов 2-го типа, осложненных термическим разложением, все возрастало и при 70 атм кризисы 1-го типа составляли всего 8%. Уменьшение доли кризисов 1-го типа наблюдалось также с повышением скорости течения.

В табл. 2 показаны также температуры стенки, при которых отмечались, соответственно, начало термического разложения спирта T_0 и момент возникновения кризиса в чистом виде T_* . Как видно, эти температуры перекрывают друг друга и при всех давлениях возможно возникновение кризиса обоих типов.

Обсуждение результатов. В работе [1] показано, что для воды в широком диапазоне давлений, недогрева и скоростей течения жидкости справедлива эмпирическая формула

$$q_* = A(1 + B\Delta t)(1 + CW)^{0.8} \quad (1)$$

где A, B, C — коэффициенты, зависящие только от давления.

Применение уравнения (1) к метиловому спирту при обработке данных описываемых опытов позволило установить, что характер изменения коэффициентов A, B, C для обеих жидкостей одинаков при одинаковых приведенных давлениях $\pi = p / p_*$ или соответствующих им приведенных температурах $\tau = T / T_*$, где p_* , T_* — соответственно, давление и температура в критической точке данного вещества.

Отмеченный факт позволяет выразить коэффициенты уравнения (1) в критериальной форме. В этом случае величина A представляет то гипотетическое значение q_* , которое должно иметь место при нулевом недогреве и нулевой скорости течения

$$q_* = 1.55 \cdot 10^6 \frac{K_2^{0.65} K_5^{0.2}}{(K_1)_1} \quad (2)$$

$$K_1 = \frac{qc_p \gamma_1 \sigma^{1/2}}{r \gamma_2 \lambda (\gamma_1 - \gamma_2)^{1/2}}, \quad K_2 = \frac{\sigma^{1/2} (\gamma_1 - \gamma_2)^{1/2}}{427 r \gamma_2}, \quad K_5 = \frac{\gamma_1 \sigma^{3/2}}{g \mu^2 (\gamma_1 - \gamma_2)^{1/2}} \quad (3)$$

Здесь γ_1, γ_2 — удельные веса жидкости и пара на линии насыщения; $c_p, r, \sigma, \mu, \lambda$ — соответственно, теплоемкость, скрытая теплота парообразования, поверхностное

натяжение, вязкость и теплопроводность жидкости при тех же условиях; $g = 9.81 \text{ мсек}^{-2}$ — ускорение силы тяжести; 427 — механический эквивалент тепла [$\text{кгм} / \text{ккал}$]; $(K_1)_1$ — значение при $q = 1$.

Влияние недогрева на кризис кипения, коэффициент B в уравнении (1), получено из следующих соображений. С. С. Кутателадзе [7] показал, что влияние недогрева на кризис в условиях естественной конвекции выражается соотношением

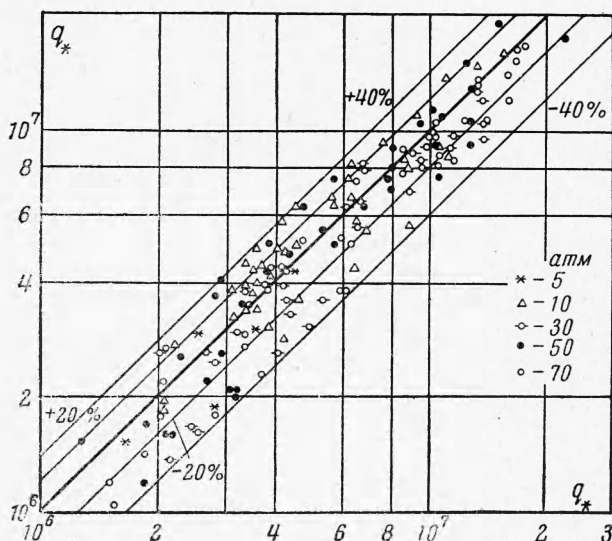
$$\frac{q_*}{q_0} = 1 - D \left(\frac{\gamma_1}{\gamma_2} \right)^n \frac{\Delta i}{r}, \quad \Delta i = i_f - i' \quad (4)$$

Здесь Δi отрицательно при недогреве, а q_0 соответствует q_* при нулевом недогреве. Обработка опытных данных по воде, спирту и другим органическим жидкостям позволила заменить в случае принудительного течения уравнение (4) более простым соотношением по уравнению (1). Оказалось, что для всех исследованных теплоносителей коэффициент B в этом уравнении обратно пропорционален абсолютной температуре кипения T_s при данном давлении.

Для воды
 $B = 9.5 / T_s$,

для метилового спирта
 $B = 6.25 / T_s$

Для учета влияния скорости течения на кризис кипения (коэффициент C в уравнении (1)) была использована работа [8], в которой показано, что разница между устойчивостью парового пузыря на поверхности нагрева при свободной конвекции и при принудительном течении может быть учтена критерием Вебера



Фиг. 2. Сравнение экспериментальных данных по q_* с расчетом по уравнениям (2) и (14)

$$W = \frac{w^2 l \gamma_1}{g \sigma}, \quad \text{или} \quad W = \frac{w^2 \gamma_1}{g \sigma^{1/2} (\gamma_1 - \gamma_2)^{1/2}} \quad (5)$$

если за геометрический размер l принять величину, пропорциональную отрывному диаметру парового пузыря при свободной конвекции. При этих условиях для коэффициента C было получено выражение (P — критерий Прандтля)

$$C = 0.0895 \frac{W^{0.4} P^{0.1}}{K_3^{0.5} K_5^{0.25}} \left(\frac{\gamma_1}{\gamma_2} \right)^{0.45}, \quad P = 3600 g \frac{\mu c_p}{\lambda} \quad \left(K_3 = \frac{r}{T_s c_p} \right)$$

Таким образом, величина теплового потока при кризисе кипения в условиях принудительного течения и недогрева основной массы жидкости до температуры насыщения определяется в общем виде критериальным уравнением

$$K_1 = F(K_2, K_3, K_5, P, W, \gamma_1 / \gamma_2, \Delta t / T_s) \quad (6)$$

или его конкретной формой для рассматриваемого теплоносителя — метилового спирта

$$q_* = 1.55 \cdot 10^6 \frac{K_2^{0.65} K_5^{0.2}}{(K_1)_1} \left(1 + \frac{6.25}{T_s} \Delta t \right) \left[1 + 0.0895 \frac{W^{0.4} P^{0.1}}{K_3^{0.5} K_5^{0.25}} \left(\frac{\gamma_1}{\gamma_2} \right)^{0.45} \right] \quad (7)$$

Сравнение коэффициентов A , B , C с опытными данными показало, что разница между расчетными и опытными значениями A при давлениях, удаленных от критической точки, не превышает 2% и в околоскритической области 8.5%. Для коэффициента B таких расхождений вообще не наблюдалось. Для коэффициента C отмечены расхождения более значительные, причем они увеличиваются по мере приближения к критической области, что можно объяснить неточностью определения физических свойств вещества и нечеткостью явления кризиса кипения в этой области.

На фиг. 2 дано сравнение опытных и расчетных значений $q_{\#}$ при всех рабочих давлениях. Из графика видно, что свыше 60% всех опытов укладывается в полосе $\pm 20\%$ от расчетной линии, а остальные точки отклоняются не больше чем на 40%.

Проведенное исследование кризиса кипения метилового спирта при принудительном течении в трубках малого диаметра в широком диапазоне изменения давления в контуре, скорости течения и недогрева до температуры насыщения показало отсутствие влияния на кризис кипения данной жидкости размеров трубы. При всех давлениях отмечены случаи осложнения кризиса кипения термическим разложением спирта на поверхности нагрева, причем с увеличением давления вероятность разложения увеличивается. Проведенная обработка опытов позволяет предложить критериальное уравнение (7) для определения $q_{\#}$, пригодное для воды, метилового спирта и других жидкостей.

Поступила 18 VI 1962

ЛИТЕРАТУРА

- Поваринин П. И., Семенов С. Т. Исследование кризиса кипения при течении недогретой воды в трубках малых диаметров при высоких давлениях. Теплоэнергетика, 1959, № 4; 1960, № 1.
- Аладьев И. Т., Додонов Л. Д., Удалов В. С. Теплоотдача и критические тепловые потоки при кипении недогретой воды в трубах. Атомная энергия, 1959, т. 6, вып. 1.
- Зеникевич Б. А., Субботин В. И. Критические тепловые нагрузки при вынужденном течении воды, не дрогретой до кипения. Атомная энергия, 1957, т. 2, вып. 8.
- Стерман Л. С., Стюшин Н. Г. Влияние циркуляции на кризис теплообмена при кипении изопропилового спирта. Ж. техн. физ., 1952, № 3.
- Бэйли С., Дин Л. Исследование теплообмена к топливу ракетного двигателя JP-4. Вопр. ракетн. техн. Сб. перев. и обз. ин. период. лит., 1955, № 4.
- Аладьев И. Т., Дорошук В. Е., Миропольский З. Л., Стырикович М. А. Кризис кипения в трубах. Докл. на 2-й Междунар. конф. по теплообмену в Колорадо. США, 1961.
- Кутателадзе С. С. Критические тепловые потоки при течении смачивающей жидкости с ядром, не дрогретым до температуры насыщения. Научн. докл. Высп. школы. Сб. «Энергетика», 1959, № 2.
- Телетов С. Г. О максимальном размере парового пузыря. Изд-во АН СССР, Изв. ЭНИН, 1940, т. XI.

ОПРЕДЕЛЕНИЕ ФОРМЫ ГАЗОВОГО ПУЗЫРЯ В ОСЕСИММЕТРИЧНОМ ПОТОКЕ ЖИДКОСТИ

О. М. Киселев (Казань)

Известно лишь несколько работ, посвященных определению формы свободных границ потока с учетом действия сил поверхностного натяжения. Задача о нахождении формы двумерного пузыря в плоском потенциальном потоке несжимаемой жидкости внутри прямолинейного канала была решена Н. Е. Жуковским [1]. В 1955 г. Мак-Леод [2] другим методом решил частный случай задачи Жуковского (поток неограниченный, давление внутри пузыря равно давлению торможения). Наконец М. И. Гуревич [3] исследовал влияние сил поверхностного натяжения на коэффициент сжатия струи. Ниже предлагается приближенный метод определения формы газового пузыря в осесимметричном потенциальном потоке несжимаемой жидкости. Показывается, что искомая форма мало отличается от сплюснутого эллипсоида вращения. Определяются основные размеры пузыря в зависимости от физических параметров потока.

Обозначения

- | | |
|---|---|
| V — скорость потока, | R_1, R_2 — главные радиусы кривизны |
| V_∞ — скорость невозмущенного потока, | пузыря, |
| v — безразмерная скорость, $v = V/V_\infty$ | $2a$ — длина пузыря (диаметр, параллельный оси x), |
| p — давление в жидкости, | $2b$ — толщина пузыря (диаметр, перпендикулярный к оси x), |
| p_0 — давление заторможенного потока, | c — относительное удлинение |
| p_i — давление газа в пузыре | $c = a/b$ |
| $(p_i = \text{const}, p_i \geq p_0)$, | ρ — плотность жидкости. |
| T — сила поверхностного натяжения | |
| $(T = \text{const})$, | |